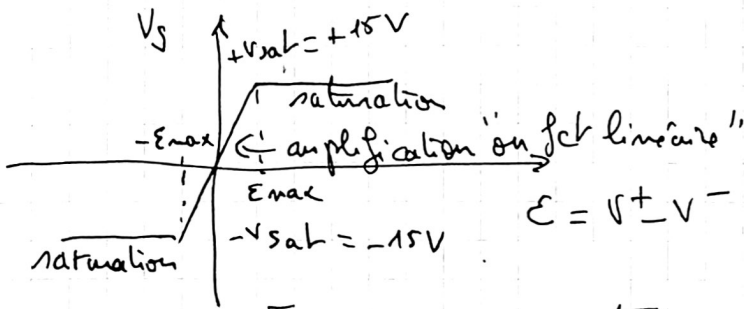


CORRIGÉ DS (1) : Electronique Analogique.

A - Généralités sur les ALI

10)



$$\mu_0 \# 2 \cdot 10^5 \Rightarrow E_{max} \# \frac{15}{2 \cdot 10^5} = 7,5 \cdot 10^{-5} \text{ V}$$

$$E_{max} \# 0,1 \text{ mV.}$$

20) gain de l'ALI infini. (retroaction \downarrow stable en c-)

Il peut fonctionner en régime d'amplification donc: $E = \frac{V_s}{\infty} \Rightarrow E \rightarrow 0 \text{ V}$ négligée.

et par la loi des tensions: $V_s = V_e - E \approx V_e$ ici.

Il s'agit du montage "suiveur" de tension.

Son intérêt réside dans son impédance d'entrée très élevée ($i^+ \approx 0 \text{ A}$), ce qui lui permet de "suivre" (recopier) une tension sans modifier le comportement du circuit en amont.

30) période de 4 canaux $\Rightarrow T = 400 \mu\text{s}$

$$\text{donc } f = \frac{1}{T} = \frac{1}{400} \text{ MHz} = 0,0025 \text{ MHz}$$

$$f = 2,5 \text{ kHz.}$$

Amplitude de la sinusoïde: 3,3 canaux (div)

$$\Rightarrow A = 6,6 \text{ V.}$$

"Raisonnablement?"

Les risques sont:

\rightarrow saturation? \rightarrow pas de souci (sat à $\pm 15 \text{ V}$)

\rightarrow SLEW-RATE? \rightarrow ici pente max = $A \times \omega$
 $6,6 \times 2\pi f = 6,6 \times 2\pi \times 2,5 \cdot 10^3$

dont l'ordre de grandeur $10^5 \text{ V/s} \Rightarrow 0,1 \text{ V}/\mu\text{s} < \text{SR.}$

On ne peut pas tester le rôle de passe-bas car nous ne disposons pas du facteur de mérite.

(L'ordre de grandeur est tout de même de 1 MHz.

et ici $G=1 \Rightarrow f_c = \frac{FM}{G} = 1 \text{ MHz}$)

on est largement au-dessous.

Donc OUI on peut raisonnablement s'espérer observer la même chose en sortie.

4

4°) la tension est triangulaire. On s'intéresse alors à la pente. On trouve environ:

$$\frac{4,5 \times 2 \text{ V}}{1 \mu\text{s}} = 9 \text{ V}/\mu\text{s} \text{ qui est typique}$$

d'1. SLEW RATE.

(en travaillant sur la docente, on a:

$$\frac{6 \times 2 \text{ V}}{1 \mu\text{s}} = 12 \text{ V}/\mu\text{s} \text{ caractéristique des } \mu\text{A}1081 \text{ ou } 071 \text{ utilisés en TP.}$$

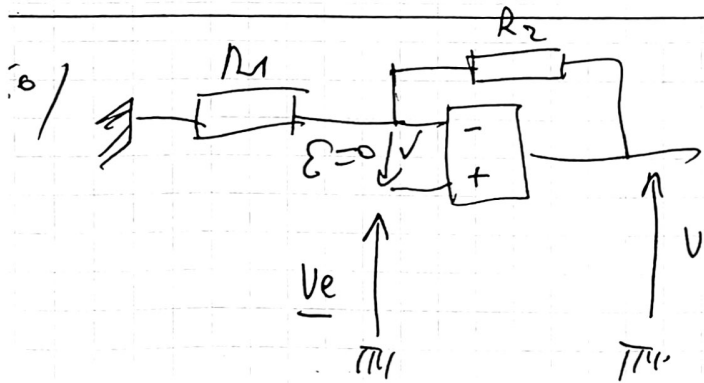
2

5°) Une saturation à $\pm 4 \text{ V}$ est donc observée.

le calcul du rapport $\frac{U_{sat}}{R_C} = \frac{4}{50} = 0,08 \text{ A}$
 $= 80 \text{ mA}$

L'ordre de grandeur est typique de la saturation en intensité d'1 $\mu\text{A}1$ (20 mA au souvent).

2



Sous réserve des hypothèses:
 $\mu\text{A}1$ idéal de gain infini.
 - fct en amplification

$E = 0 \text{ V}$

le courant traversant R_1 et R_2 relie alors les tensions par:

$$\frac{V_c}{R_1} = \frac{V_s}{R_1 + R_2} \Rightarrow V_s = \left(\frac{R_1 + R_2}{R_1} \right) V_c$$

3

7°) La résistance d'entrée de ce montage est approchée
infinie (R_{diff} d'entrée de l'ALI idéal)
 donc les ordres de grandeurs importants pour tant
 que l'on ne dépasse pas la centaine de kΩ.

gain de 10 : ex R₁ = 1kΩ R₂ = 9kΩ.

gain de 100 : — 1kΩ R₂ = 99kΩ.

gain de 1000 : — 100Ω R₂ = 99,9kΩ.

1/2

→ Pour la tension continue le max de gain est
 limité a priori par le gain de l'ALI (il faudrait
 1 déca!) donc $G < 10^5$

mais la tension de saturation étant de 15V
 cela correspond à 1 tension continue d'amplitude
 ridicule: $\frac{15}{105} = \frac{15}{100} \times 10^{-3} V = 0,15 \text{ mV} < \underline{\underline{\text{bruit!}}}$

1

dont il est absurde d'envisager ce gain.
 (1 gain de 1000 sera plus raisonnable).

→ Pour 1 sinusé de l'entrée de 10kHz, le
 facteur de mérite de l'ALI est limitant.

Il ne faut pas atteindre la fréquence de
 coupure de l'ALI soit: $f < \frac{10^6}{\text{Gain}}$

soit Gain $< \frac{10^6}{10^4} \text{ si } \Rightarrow G \lesssim 10 \text{ au max}$

1/2

8°) La tension avait 1 amplitude de 6,6V

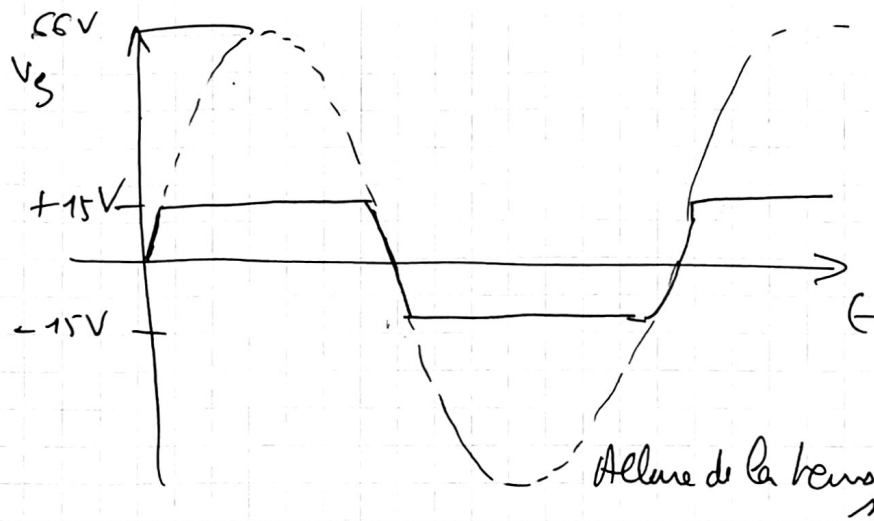
ou $6,6 \times 10 = 66V > 15V$!

elle sera donc saturée à partir de ±1,5V en entrée

la pente de montée du signal de sortie

sera au max de $6,6 \times 27 \times 25 \cdot 10^3 \approx 1V/\mu s$

donc pas de triangulisation puisque
 le SLEW-RATE est supérieur à 9V/μs.



1/2

B) - COMPTEUR D'IMPULSIONS

⚠ $V_{cc} = 7V$ et $V_{sat} = 7V$

90) Il faut entendre ici "continue" pour "statonnaire"
 Dans ce cas le courant ne peut plus passer par le condensateur (assimilé à un interrupteur ouvert) ni par l'entrée non-inverseuse de l'AI idéalisé.

Ainsi par loi des nœuds: $i = 0A$

1

$\Rightarrow R_i = 0V \Rightarrow V^+ = -V_o$ (par loi des tensions)

1

$\Rightarrow V_e = 0V$

comme $V^- = V_e = 0V$

ou $V^+ = -V_o < 0$

alors: $E = V^+ - V^- = -V_o < 0$

et donc la sortie est en saturation négative.

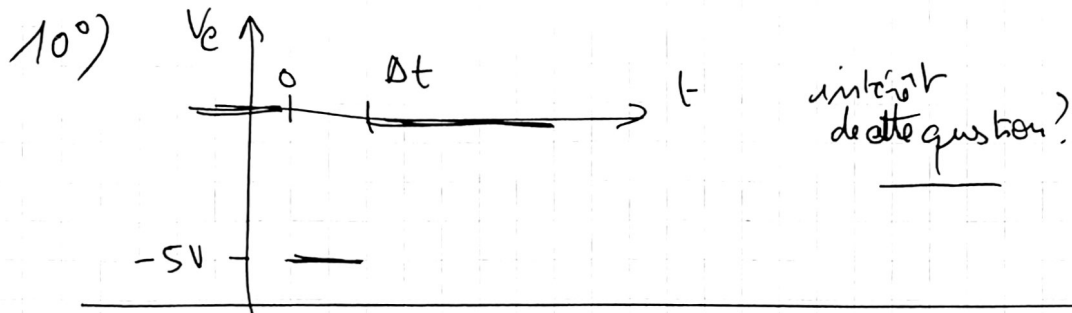
$V_s = -V_{sat} = -7V$ ici.

Loi des tensions sur l'association série:

$V_s + u_c + V_o = 0$

$\Rightarrow u_c = -V_s - V_o = +7 - 1 = 6V$

1



1

11°) Un davis caractéristique d'un signal est toujours à comparer à des temps caractéristiques de réponse du circuit dans lequel on le envoie.

le seul temps caractéristique du circuit est le produit RC donc "très brève" signifie: $\Delta t \ll RC$

le condensateur a donc très peu le temps de se charger et la continuité de la tension à ses bornes implique que u_c varie peu de puis sa valeur précédente.

1/2

12°) On ne connaît pas l'état à $t=0^-$ de la sortie.

hypothèse ① : $V_s = -V_{sat} = -7V$

(si le régime était précédemment stationnaire)
 $\Rightarrow u_c = 6V$ (question 9°)

\Rightarrow en 0^+ u_c encore $\approx 6V$.

et donc $V^+ = -V_o = -1V$

quand $V^- = V_e = -5V$ à $t=0^+$

$$\Rightarrow \varepsilon = V^+ - V^- = -1 + 5 = 4V > 0$$

donc passage de la sortie à $+V_{sat}$!

hypothèse ② : $V_s = +V_{sat} = +7V$

$$u_c = 6V$$

$$V_s + u_c = 13V = V^+$$

$$\varepsilon = V^+ - V^- = 13 - (-5) = 18V$$

donc pas de bascule

1/3

Retour à 0V: $V^- = 0V$ $V^+ = 13V$ $\Rightarrow \varepsilon = 13V > 0$
 \Rightarrow retour à $(+V_{sat})$.

1

13) à $t=0^+$

$V_s = +V_{sat} = 7V = -V_o + R_i - u_c$ (loi de tension)

$(V_{sat} + V_o) = -RC \frac{du_c}{dt} - u_c$
 8V. Δ convention gain inverse sur le condensateur.

⊛ solution générale de l'équation différentielle sans second membre: $u_c(t) = k e^{-t/\tau}$
 SSM avec $\tau = RC$.

⊛ solution particulière de l'équation diff avec second membre: $u_c(t) = -(V_{sat} + V_o) = -8V$.
 ASM

$\Rightarrow u_c(t) = k e^{-\frac{t}{\tau}} - (V_{sat} + V_o)$.

Conformément à la question 90) $\Rightarrow u_c(t=0^-) = V_{sat} - V_o (= 6V)$

donc par continuité de $u_c(t)$ autour de $t=0$.

$V_{sat} - V_o = k - (V_{sat} + V_o)$.

$\Rightarrow k = 2V_{sat}$

$\Rightarrow u_c(t) = 2V_{sat} e^{-\frac{t}{\tau}} - (V_{sat} + V_o)$

$\tau = RC$ temps de relaxation

14

14) V_s passera en $-V_{sat}$

lorsque ε deviendra < 0

or: $\varepsilon = V^+ - V^- = (V_s + u_c) - V_o$

avec (avant bascule) $V_s = +V_{sat}$
 et $V_o = 0$

ce qui donne: $\epsilon = +V_{sat} + u_c < 0$

donc lorsque u_c devient plus négatif que $-V_{sat}$.

à cet instant t_1 :

$$2V_{sat} e^{-\frac{t_1}{RC}} - (V_{sat} + V_0) = -V_{sat}$$

$$\Rightarrow 2V_{sat} e^{-\frac{t_1}{RC}} = V_0$$

$$e^{-\frac{t_1}{RC}} = \frac{V_0}{2V_{sat}}$$

$$\Rightarrow e^{\frac{t_1}{RC}} = \frac{2V_{sat}}{V_0}$$

$$\Rightarrow \boxed{t_1 = RC \ln\left(\frac{2V_{sat}}{V_0}\right)}$$

A.N: $t_1 = 10 \cdot 10^3 \times 650 \cdot 10^{-9} \ln\left(\frac{14}{1}\right)$

soit: $t_1 \approx 6500 \cdot 10^{-6} \times 2,6$

$$t_1 \approx \underline{2,6 \cdot 6,7 \cdot 10^{-3} \text{ s}}$$

$$t_1 \approx \underline{17 \text{ ms}}$$

15°) avant $t=0 \rightarrow$ état stationnaire

$$V^+ = -V_0 = -1V \quad (\text{seuil bloqué confiné})$$

ensuite $V^+ = u_c + V_{sat} = 2V_{sat} e^{-\frac{t}{RC}} - V_0$

bascule en t_1 : deuxième phase.

V_g vient de passer en $-V_{sat}$.

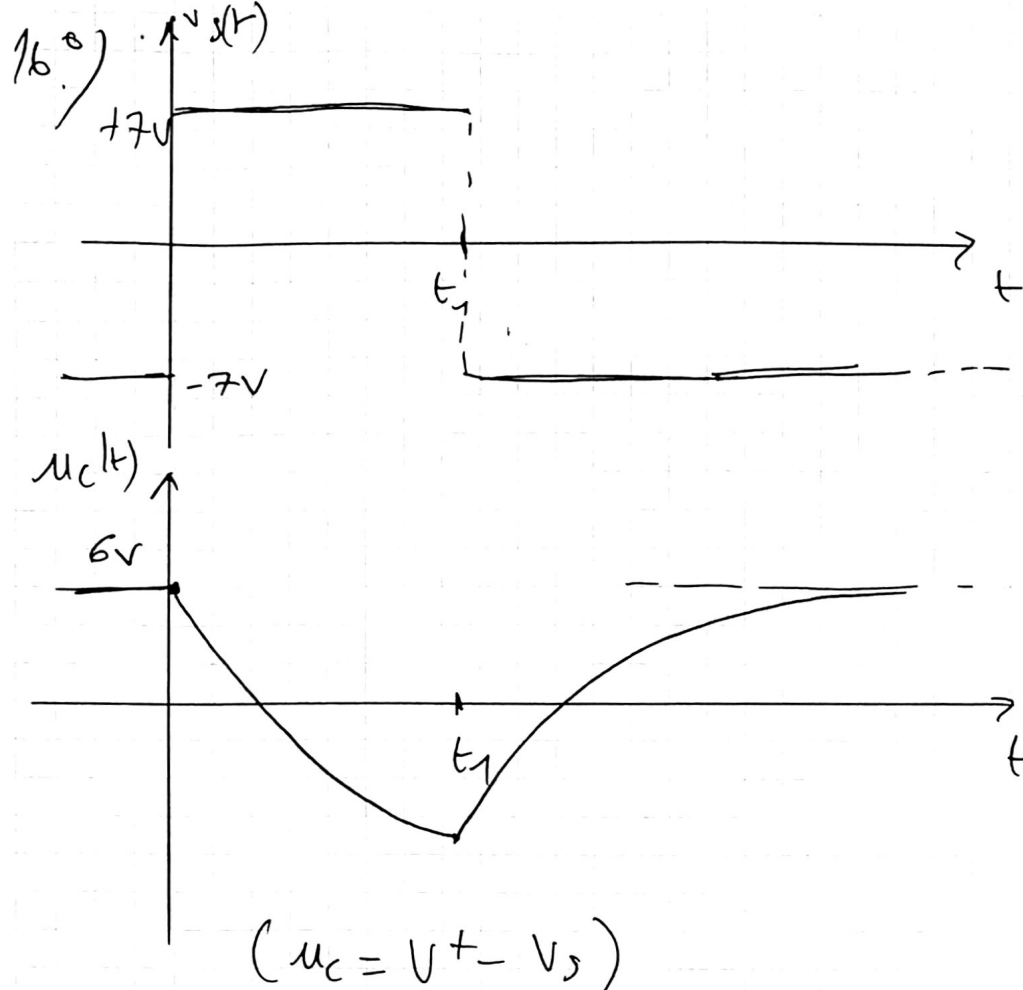
$$V^+ = u_c - V_{sat} = -2V_{sat} \quad (\text{car } u_c \text{ vaut } -V_{sat} \text{ à cet instant})$$

Cela représente donc la valeur minimale de V^+

$$\Rightarrow -2V_{sat} = \underline{-14V}$$

+3

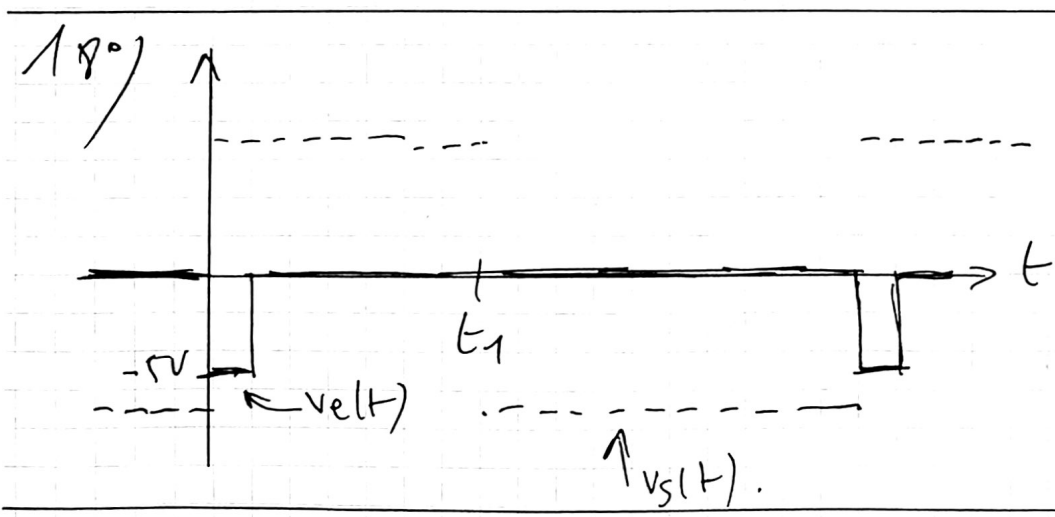
+2



3

17°) $T \gg t_1 + \tau$
 on pourra prendre : $T > t_1 + 5\tau$ → 99% de la remontée à l'état stationnaire.
 $T > 17ms + 5 \times 6,1V ms$
 $T > 50ms$

2



2

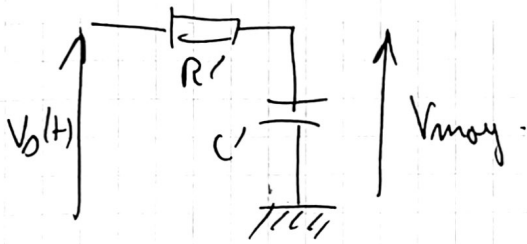
19°)

$$V_s \text{ moy} = \frac{+V_{sat} \times t_1 - V_{sat} (T - t_1)}{T}$$

$$V_s \text{ moy} = 2 V_{sat} t_1 f - V_{sat}$$

1

20°) Un filtre passe-bas de $f_c \ll 10\text{Hz}$.



si on choisit $f_c = 0,1\text{Hz} = \frac{1}{2\pi R' C'}$

l'ordre de grandeur de $R' C'$ doit être environ de 1s.

exemple : $R' = 1\text{M}\Omega$
 $C' = 1\mu\text{F}$

1/2

21°) D'après l'expression du 19°) il faut rajouter $V_{sat} = 7\text{V}$ en permanence.
 ⇒ montage sommateur

1/1

C - COMPAREUR A HYSTERESIS
 FILTRAGE ET AMPLIFICATION.

Q28) Ideal : $i^+ = i^- = 0\text{A}$ car $Z_e \rightarrow \infty$
 $\mu_o \rightarrow \infty$

Réel : i^+ et i^- inférieurs au mA
 $Z_e \neq 1\text{M}\Omega$ au moins
 $\mu_o \neq 10^5$ à 10^6 .

1/2

Q29) m question?

complétons par $R_s \neq 100\Omega$
 $f_o \neq 10\text{Hz}$.

et citons la limite du SLEW-RATE
 de l'ordre de 1 à 10 V/ μs .

1/2

Q30) Rétroaction vers l'entrée non-inverseuse
 \Rightarrow fct en régime saturé

1

Q31) Diviseur de tensions sur R_1 et R_2 en série

$$V_+ = \frac{R_1}{R_1 + R_2} V_s$$

2

Q32) Si $V_e = -15V$ et $V_+ = -V_{sat} \cdot \frac{R_1}{R_1 + R_2} = -\frac{R_1}{R_1 + R_2} V_{sat}$

donc comme $V_{sat} = 14V$

$$-\frac{R_1}{R_1 + R_2} V_{sat} > V_e = -15V.$$

donc $V_+ > V_- \Rightarrow \mathcal{E} > 0$

et donc c'est incohérent avec l'hyp.

Ainsi V_s ne peut être qu'à l'état $+V_{sat} = +14V$

V_e augmente et la bascule se fera lorsque

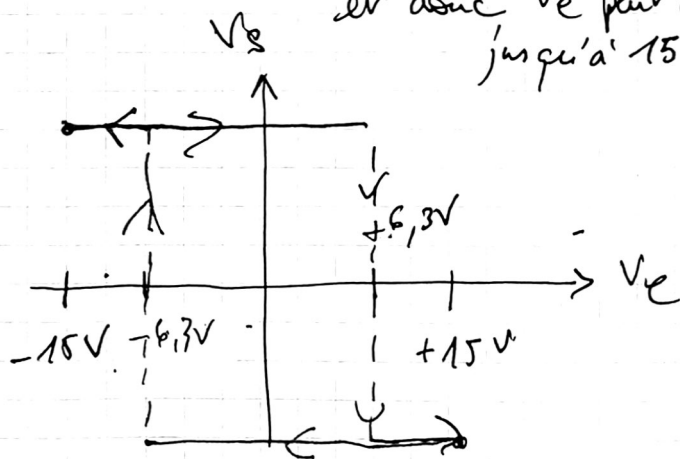
\mathcal{E} deviendra < 0

donc lorsque $\frac{R_1}{R_1 + R_2} V_{sat} < V_e$.

Valeur de basculement -

V_s passe alors à $-V_{sat}$.

et donc V_e peut continuer à augmenter jusqu'à $-15V$



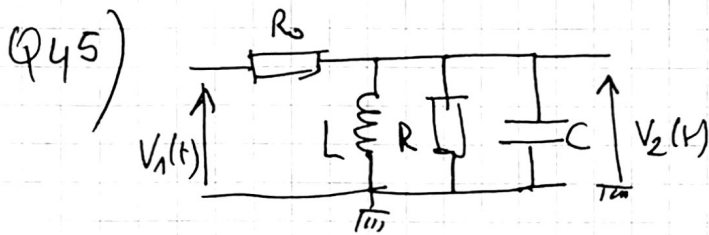
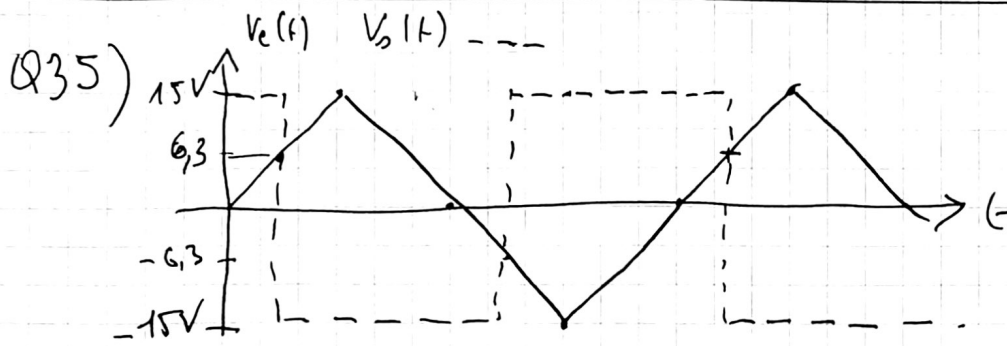
$$\text{avec } \frac{R_1}{R_1 + R_2} V_{sat} = \frac{158}{4} \times 14 = 6,3V$$

2

Q33) Nouveau basculement à $-\frac{R_1}{R_1 + R_2} V_{sat} = -6,3V$
 (comme dessinée au-dessus)

2

Q34) Comparaison à l'hybridation : car les deux potentiels d'entrée sont comparés entre eux mais les bascules sont les secondes valeurs de basculement - donc "en retard" /2



Association RLC // : admittance $Y_{eq} = \frac{1}{R} + \frac{1}{j\omega L} + j\omega C$

Diviseur de tension : $\frac{V_2}{V_1} = \frac{Z_{eq}}{R_0 + Z_{eq}} = \frac{1}{R_0 Y_{eq} + 1}$

$$\frac{V_2}{V_1} = \frac{1}{\frac{R_0}{R} + \frac{R_0}{j\omega L} + R_0 j\omega C + 1}$$

ou encore :

$$\frac{V_2}{V_1} = \frac{\frac{R}{R+R_0}}{1 + \frac{R R_0}{(R+R_0)L\omega} + \frac{R R_0 j\omega C}{(R+R_0)}}$$

$$\frac{V_2}{V_1} = \frac{\frac{R_0}{R+R_0}}{1 + j \left(\frac{R R_0}{R+R_0} \right) \sqrt{\frac{C}{L}} \left(\sqrt{L} \omega - \frac{1}{\sqrt{L} \omega} \right)}$$

par identification à la forme proposée :

$$\begin{cases} H_0 = \frac{R_0}{R+R_0} \\ \omega_0 = \frac{1}{\sqrt{LC}} \Rightarrow f_0 = \frac{1}{2\pi\sqrt{LC}} \\ Q_F = \left(\frac{R R_0}{R+R_0} \right) \sqrt{\frac{C}{L}} \end{cases}$$

Q46) Bande passante à -3 dB: $G(x) = \frac{H_0}{\sqrt{2}}$ $H_0 \leftarrow G_{max}$ ici.

$$\Rightarrow \frac{H_0}{\sqrt{1 + Q_F^2 \left(x - \frac{1}{2}\right)^2}} = \frac{H_0}{\sqrt{2}} \Leftrightarrow Q_F^2 \left(x - \frac{1}{2}\right)^2 = 1$$

$$\Rightarrow Q_F \left(x - \frac{1}{2}\right) = \pm 1$$

1^{ère} possibilité: $Q_F \left(x - \frac{1}{2}\right) = +1$

$$\Rightarrow x^2 - 1 - \frac{x}{Q_F} = 0$$

$$\Rightarrow x_1 = \frac{\frac{1}{Q_F} + \sqrt{\frac{1}{Q_F^2} + 4}}{2}$$

$$\Rightarrow x_1 = \frac{1}{2Q_F} + \sqrt{\frac{1}{4Q_F^2} + 1}$$

(seul la valeur positive pouvant représenter le rapport de pulsation)

2^{ème} possibilité: $Q_F \left(x - \frac{1}{2}\right) = -1$

$$\Rightarrow x_2 = \frac{-\frac{1}{Q_F} + \sqrt{\frac{1}{Q_F^2} + 4}}{2}$$

$$\Rightarrow x_2 = -\frac{1}{2Q_F} + \sqrt{\frac{1}{4Q_F^2} + 1}$$

(m'importe)

donc: $x_1 - x_2 = \frac{1}{Q_F} = \frac{\Delta \omega}{\omega_0}$

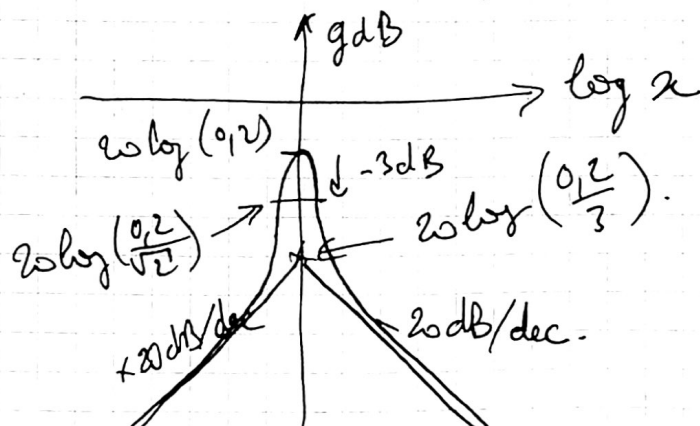
$$\Rightarrow \Delta f = \frac{f_0}{Q_F} \text{ ou } Q_F = \frac{f_0}{\Delta f}$$

démo
NON

demandé

0 point!

Q47) $Q_F \approx 3 \rightarrow$ résonance 1 peu aiguë.



(+3)

Q48) ALI idéal + ptr en amplificateur \leftarrow Ryp

Montage ① : $\frac{V_e(t)}{R_1} = i_e(t) = -\frac{V_s(t)}{R_2}$

$\Rightarrow \left[\frac{A_1}{-} \equiv \left(\frac{V_s}{V_e} \right)_{(1)} = -\frac{R_2}{R_1} \right]$

Montage ② : $-\frac{V_e(t)}{R_1} = -\frac{V_s(t)}{R_1+R_2}$

$\Rightarrow \left[\frac{A_2}{-} \equiv \left(\frac{V_s}{V_e} \right)_{(2)} = \frac{R_1+R_2}{R_2} \right]$

Q49) $Z_{e1} \equiv \left(\frac{v_e(t)}{i_e(t)} \right)_{(1)} = R_1$

$Z_{e2} \equiv \left(\frac{v_e(t)}{i_e(t)} \right)_{(2)} = \infty !$ (ALI idéal $\Rightarrow R_e \Rightarrow \infty$)

le Montage ② est donc le meilleur choix car il amplifiera le signal sans consommer de courant et donc sans modifier le comportement du montage aiment. (donc le filtre est en mode à vide!)

Q50) cette fois $\frac{V_s'}{-A} = \frac{R_1+R_2}{R_2} \times \frac{V_2}{-}$
 donc : $\underline{HFA} \equiv \frac{V_s'A}{V_1} = \frac{\frac{R_1+R_2}{R_1} \times \frac{R_0}{R_1+R_0}}{1+jQ_F\left[\alpha - \frac{1}{\alpha}\right]}$

et $\underline{Q_F} = Q$

D - MODELE ET EXPERIMENTATION

Q51) $\left(\frac{V_{AO}}{-} \right) \rightarrow$ observation d'un sinus de période voisinant les 25 $\mu s \Rightarrow f_0 = \frac{1}{25 \cdot 10^{-6}}$

$f_0 = 0,04 \cdot 10^6 \text{ Hz}$

$f_0 = 40 \text{ kHz}$

\Rightarrow signal GBF ①

V_{BO} de forme non sinusoidale → sortie
du multiplieur.

1

Q 52) La fenêtrage temporelle semble durer 1 ms
ce qui induit : $\Delta f = \frac{1}{\Delta t} = \underline{1 \text{ kHz}}$.

↑
incrément
fréquentiel

1/2

Q 53) Sur la FFT "zoomée" on lit 5 intervalles
de fréquence (Δf) sur 5 kHz.
On confirme ainsi : $\Delta f = \underline{1 \text{ kHz}}$

1

Q 54) Pour obtenir la fréquence d'échantillonnage on
pourrait compter le nb de pts (valeurs mesurées)
par ms et ensuite multiplier par 1000.
(c'est 1 peu fastidieux !)
On préférera noter que la f_{max} de la FFT (non
zoomée) vaut 500 kHz et que l'on a mesuré
que cette fenêtrage fréquentielle valait $f_e/2$.
ce qui induirait : $f_e = \underline{1 \text{ MHz}}$
(Bon courage donc à ceux devant compter 1000
valeurs dans la fenêtrage temporelle d'1/2 ms)

1/2

Q 55) A priori les OFFSET des GBF indiquent 0V de telle
manière qu'ils ne semblent pas avoir de composante
continue (moyenne nulle).

Par calcul trig : $s(t) = \frac{v_1(t) \times v_2(t)}{10}$

$$\rightarrow s(t) = \frac{A_1 \cos(2\pi f_1 t) \times A_2 \cos(2\pi f_2 t)}{10}$$

$$\Rightarrow s(t) = \frac{A_1 A_2}{10} \left[\frac{1}{2} \left(\cos(2\pi(f_1 + f_2)t) + \cos(2\pi(f_1 - f_2)t) \right) \right]$$

45 kHz 35 kHz

1/3

(L'existence d'un pic à 40 kHz
s'explique par la composante continue résiduelle sur le GBF2).